

Zahntechnik 4.0

Unser neuestes CAD/CAM-System mit digitalem Workflow bietet vorhersehbare und steuerbare Ergebnisse durch Backward-Planning sowie mehr Sicherheit und Genauigkeit durch die Kombination optischer und taktiler Scanner. Möglich sind hochpräzise Teleskop- und Steg-Konstruktionen mit Softfriktion, spannungsfreie Implantat-Suprakonstruktionen sowie individuelle Abutments und Gingivaformer aus Titan, Zirkon und PEEK. Hier zeigen wir, wie wir die optimale Passung bei unseren Teleskoparbeiten erhalten:



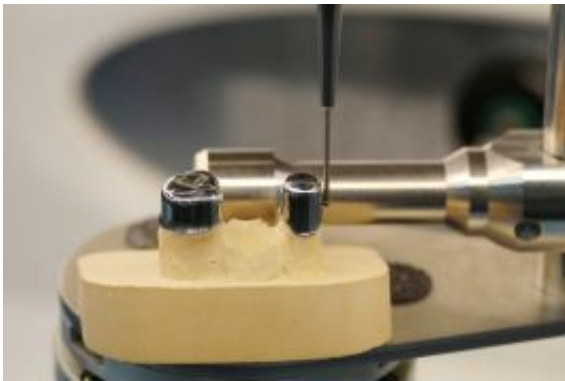
Manuelle Bearbeitung der Primärteleskope

Primärteleskope werden von uns an den parallelen Friktionsflächen hochglanzgefräst. Eine Politur dieser Flächen ist nicht notwendig.



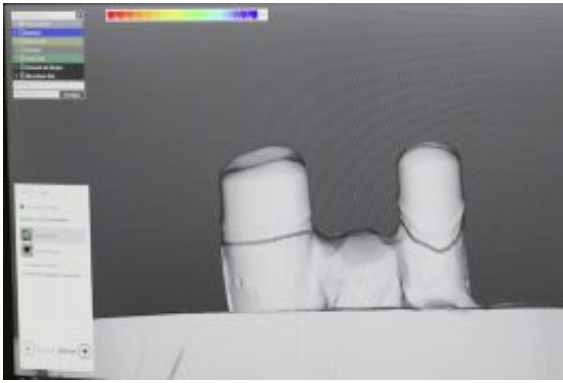
Primärteleskope mit Hochglanzfräsung

Die hochglanzgefrästen Parallelflächen der Primärteleskope sind Voraussetzung für einen perfekten Lauf der Sekundärteleskope.



Taktiler Scannen

Mit unserem hochpräzisen taktilen Scanner wird die Oberfläche der Primärteleskope exakt abgetastet. Die Daten werden in das CAD-Programm übertragen.



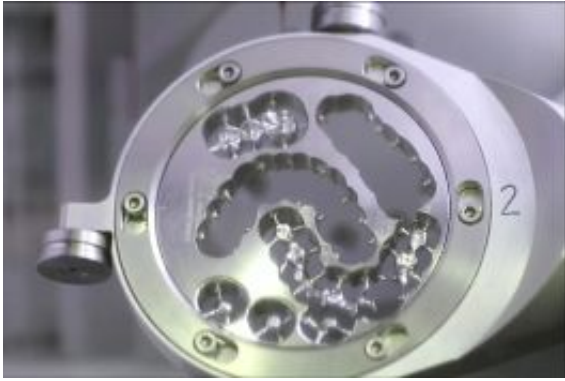
3D-Ansicht des Modells

Die Daten liefern eine 3D-Ansicht des Modells als Grundlage für das digitale Design der Sekundärteleskope bzw. der Brücke.



Design Außenteleskope

Die abnehmbare Teleskopbrücke wird virtuell am Computer designed.



Fräsen mit CAM

Die Fräsmaschine fräst aus dem gewünschten Material (hier: NEM) die Brücke heraus. Anschließend wird der Lauf der Sekundärteleskope auf den Primärteleskopen geprüft. Die Passung kann dann noch im μ -Bereich in der Maschine nachbearbeitet werden.



Fertige Teleskoparbeit

Mit unserem neuesten CAD/CAM-System erreichen wir hochpräzise, reproduzierbare Passungen selbst bei schwer zu beherrschenden Materialien wie NEM oder PEEK.

Schauarbeit

Hochpräzises Fräsen unterschiedlicher Materialien: Wir zeigen Ihnen die Ergebnisse an unserer CAD/CAM-gefertigten Schau-Teleskoparbeit.

Unsere Schauarbeiten präsentieren wir Ihnen auch gerne in der Zahnarztpraxis. Sprechen Sie uns an!

[Zu unserer Schauarbeit](#)

```
(function() { var sliderElement =
[].slice.call(document.getElementsByClassName('mod_rocksolid_slider'), -1 )[0]; if (window.jQuery &&
jQuery.fn.rstSlider) { init(); } else { document.addEventListener('DOMContentLoaded', init); } function
init() { var $ = jQuery; var slider = $(sliderElement); slider.find('video[data-rsts-background], [data-rsts-
type=video] video').each(function() { // Disable mejs for videos this.player = false; }); slider.rstSlider({"ty
pe":"side-slide","direction":"x","skin":"tao","height":"normalize","navType":"numbers","scaleMode":"fit",
"imagePosition":"center","centerContent":true,"random":false,"loop":false,"videoAutoplay":false,"autopl
ayProgress":false,"pauseAutoplayOnHover":false,"keyboard":true,"captions":false,"controls":true,"thumbC
ontrols":false,"combineNavItems":true,"autoplay":9900,"autoplayRestart":10000,"visibleAreaAlign":0.5,"g
apSize":"0%"}); // Fix missing lightbox links $(function() { if (!$.fn.colorbox) { return; } var
lightboxConfig = { loop: false, rel: function() { return $(this).attr('data-lightbox'); }, maxWidth: '95%',
maxHeight: '95%' }; var update = function(links) { links.colorbox(lightboxConfig); }; slider.on('rsts-
slidestart rsts-slidestop', function(event) { update(slider.find('a[data-lightbox]')); });
update(slider.find('a[data-lightbox]')); }); } })();
```